

## تأثیر بار معلق بر ضرب شدت جریان سرریز جانبی در کانال مستطیلی<sup>۱</sup>

سید علی ایوب زاده، سعید گوهروی اسدی و جمال محمدولی سامانی<sup>۲</sup>

تاریخ پذیرش مقاله: ۸۴/۱۲/۱۴ تاریخ دریافت مقاله: ۸۳/۸/۳

### چکیده

سرریزهای جانبی، سازه‌های منحرف کننده جریان هستند که در شبکه های آبیاری و زهکشی، کنترل سیالاب، مهندسی بهداشت، و سیستم‌های فاضلاب شهری کاربرد فراوانی دارند. روابطی که برای ضرب شدت جریان سرریز جانبی در کانال مستطیلی پیشنهاد شده است برای جریان آب صاف عاری از رسوب معتبر است اما غالباً در طبیعت جریان موجود در آبراهه‌ها حاوی مقادیری از مواد رسوبی است که تاثیر آنها در ضرب شدت جریان سازه‌ها باید لحاظ گردد. تحلیل ابعادی در سرریزهای جانبی با وجود بار معلق نشان می‌دهد ضرب شدت جریان را می‌توان تابعی از عدد فرود بالادست  $F_{R1}$ ، عمق نسبی ( $P/L$ )، و غلظت جریان ( $X$ ) درنظر گرفت. به منظور مطالعه این تأثیر، مدل آزمایشگاهی با سرریز به طول ۵۰ سانتی متر در سه ارتفاع ۴، ۵، و ۶ سانتی متر و عرض کانال اصلی ۲۰ سانتی متر ساخته شده است. شبیب کف کانال به مقدار ثابت ۱۰۰۰ در نظر گرفته شد. از پودر سیلیس به عنوان ماده رسوبی در چهار غلظت ۳۰۰۰، ۵۷۰۰، ۱۰۵۰۰ و ۱۹۵۰۰ قسمت در میلیون قسمت استفاده شد که به وسیله سیستم چرخشی رسوب به همراه فلوم شبیب پذیر به طول ۱۰ متر و عرض ۳۰ سانتی متر و ارتفاع ۴۵ سانتی متر تأمین شده است. نتایج آزمایش‌ها نشان می‌دهد که با افزایش غلظت جریان، سرعت جریان افزایش و مقدار افت جریان در طول سرریز جانبی کاهش می‌یابد. ضرب شدت جریان برای غلظت ۱۹۵۰۰ قسمت در میلیون قسمت تا حدود ۱۵ درصد افزایش نشان داده است. با توجه به تحلیل ابعادی، رابطه‌ای خطی برای ضرب شدت جریان به عنوان تابعی از سه پارامتر، عدد فرود بالادست، عمق نسبی، و غلظت جریان پیشنهاد می‌شود که ضرب شدت جریان را در شرایط وجود بار معلق و در محدوده آزمایش‌های انجام شده برآورد می‌کند.

### واژه‌های کلیدی

آبگیرهای جانبی، بار معلق جریان، سرریز جانبی، ضرب شدت جریان، عمق نسبی

- ۱- برگرفته از طرح مصوب و پایان نامه کارشناسی ارشد، گروه سازه‌های آبی، دانشکده کشاورزی، دانشگاه تربیت مدرس
- ۲- به ترتیب استادیار گروه سازه‌های آبی، دانشکده کشاورزی، دانشگاه تربیت مدرس، تقاطع بزرگراه‌های جلال آل احمد و شهید دکتر چمران، ص. پ. ۱۴۱۵۵-۴۸۳۸، تلفن: ۰۲۱-۸۰۱۱۰۰۱، دورنگار: ۰۲۱-۸۰۶۵۴۴، دانشجوی کارشناسی ارشد رشته سازه‌های آبی، دانشکده کشاورزی، دانشگاه تربیت مدرس و دانشیار گروه سازه‌های آبی، دانشکده کشاورزی، دانشگاه تربیت مدرس

## مقدمه

حسب متر است با انتگرال گیری از رابطه فوق

می‌توان نوشت:

$$X = \frac{3B}{2C_d} \Phi(y, E, P) + cte \quad (2)$$

$$C_d = \frac{3B}{2L} (\Phi_2 - \Phi_1) \quad (3)$$

که در این رابطه؛  $C_d$  = ضریب شدت جریان دی-مارچی؛ آندیس‌های ۱ و ۲ مربوط به مقاطع ابتدا و انتهای سرریز؛  $B$  = عرض کanal اصلی بر حسب متر،  $L$  = طول سرریز جانبی بر حسب متر؛  $E$  = انرژی مخصوص بر حسب متر؛ و  $P$  = ارتفاع سرریز جانبی بر حسب متر؛ است. عده‌ای از محققان نیز از ضریب شدت میانگین برای بررسی ضریب شدت جریان در سرریزهای جانبی استفاده کرده‌اند و در صدد مقایسه این نوع سرریزها با سرریزهای معمولی برآمدۀ‌اند. بررسی‌ها نشان می‌دهد که وجود بار معلق همراه جریان، باعث تغییر شرایط جریان از جمله پروفیل سرعت نسبت به حالت آب صاف می‌شود. همچنین با وجود بار معلق ضریب وان کارمن را کاهش می‌دهد (Einstain & Chien, 1954) (شکل‌های شماره ۱ و ۲). در جدول شماره ۱۰ خلاصه‌ای از رابطه‌های پیشنهادی بعضی از محققان ارائه شده است. همان طور که در این جدول دیده می‌شود بیشتر محققان ضریب شدت جریان را تابعی از عدد فرود بالادست می‌دانند و همچنین برای مقایسه سرریزهای جانبی با سرریزهای نرمال روابطی نیز برای  $C_d$  بر حسب عمق نسبی ( $y/P$ ) بیان شده است.

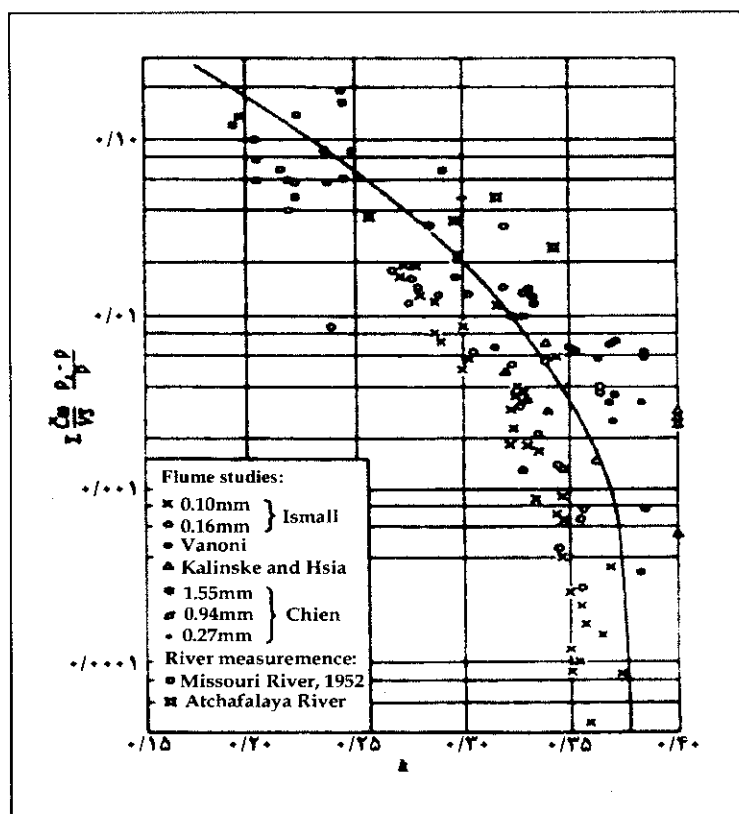
سرریزهای جانبی سازه‌هایی هستند که در دیواره کanal‌ها یا آبراهه‌ها تعییه می‌شوند و هنگامی که تراز سطح آب در کanal از تاج سرریز بالاتر می‌رود بخشی از آب وارد کanal فرعی یا حوضچه آن می‌شود. نوع جریان در این نوع کanal‌ها به صورت جریان متغیر مکانی با کاهش دبی است. بررسی این نوع سرریزها سابقه‌ای نزدیک به یک قرن دارد. تاکنون مطالعات زیادی در این باره انجام گرفته است دی-مارچی (De Marchi, 1934) اولین کسی بود که معادله جریان متغیر مکانی در کanal همراه با سرریز جانبی را به صورت ثوری استخراج کرد؛ کار او اساس کار اکثر محققان قرار گرفت. وی نشان داد که برای یک کanal افقی مستطیلی، صرف نظر از شبیه اصطکاکی، معادله جریان متغیر مکانی با کاهش دبی به صورت زیر است:

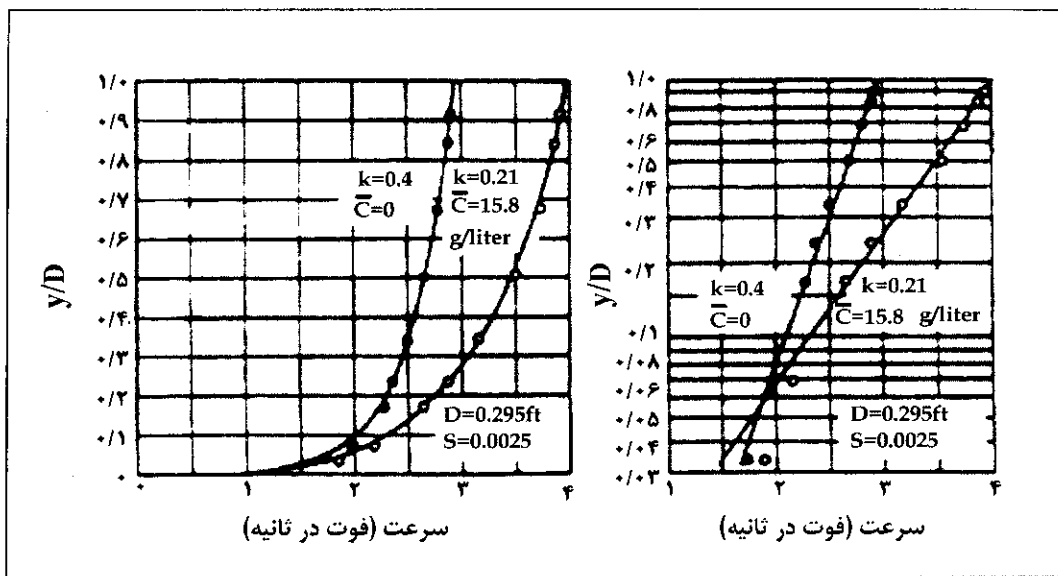
$$\frac{dy}{dx} = \frac{S_0 - S_1 - \left( \frac{\alpha Q}{gA^2} \right) \frac{dQ}{dx}}{1 - \frac{\alpha Q^2}{gA^2 D}} \quad (1)$$

در این رابطه؛  $y$  = عمق آب در کanal اصلی بر حسب متر؛  $S_0$  = شبیه کف کanal؛  $S_1$  = شبیه انرژی؛  $A$  = سطح مقطع جریان بر حسب متر مربع.  $\alpha$  = ضریب تصحیح انرژی؛  $g$  = شتاب تقلیل بر حسب متر بر محدوده ثانیه؛  $Q$  = مقدار شدت جریان بر حسب متر مکعب بر ثانیه؛ و  $D$  = عمق هیدرولیکی بر

## جدول شماره ۱ - خلاصه‌ای از رابطه‌های پیشنهادی برای تعیین ضریب شدت جریان در سرریزهای جانبی

ردیف	محقق	سال ارائه	رابطه	ملاحظات
۱	Subramanya & Awasthy	۱۹۷۲	$C_d = 0.611 \sqrt{1 - \frac{3 Fr_1^2}{Fr_1^2 + 2}}$	جریان زیر بحرانی
۲	Ranga Raju	۱۹۷۹	$C_d = 0.81 - 0.6 Fr_1$	سرریزهای لبه تیز
۳	Hager	۱۹۸۶	$C_d = 0.45 - 0.22 Fr_1^2$	جریان زیر بحرانی
۴	Singh <i>et al.</i>	۱۹۹۲	$C_d = 0.33 - 0.18 Fr_1 + 0.49 \frac{P}{y_1}$	جریان زیر بحرانی
۵	Cheong	۱۹۹۴	$C_d = 0.45 - 0.22 Fr_1^2$	جریان زیر بحرانی
۶	Pinheiro & Silva	۱۹۹۷	$C_d = 0.607 - 0.147 \frac{y_1}{P}$	جریان زیر بحرانی
۷	Borghei <i>et al.</i>	۱۹۹۹	$C_d = 0.55 - 0.47 Fr_1$	جریان زیر بحرانی

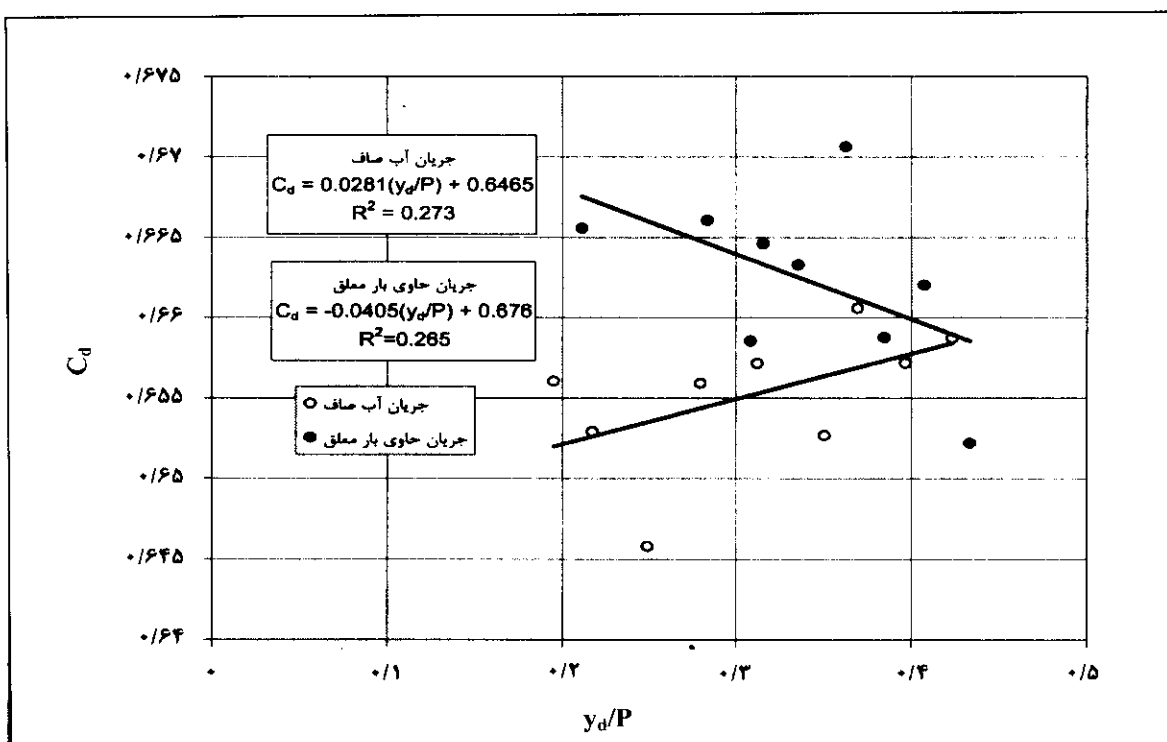
شکل شماره ۱ - اثر بار معلق بر پارامتر  $C_d$  از: (Einstein & Chien, 1954)



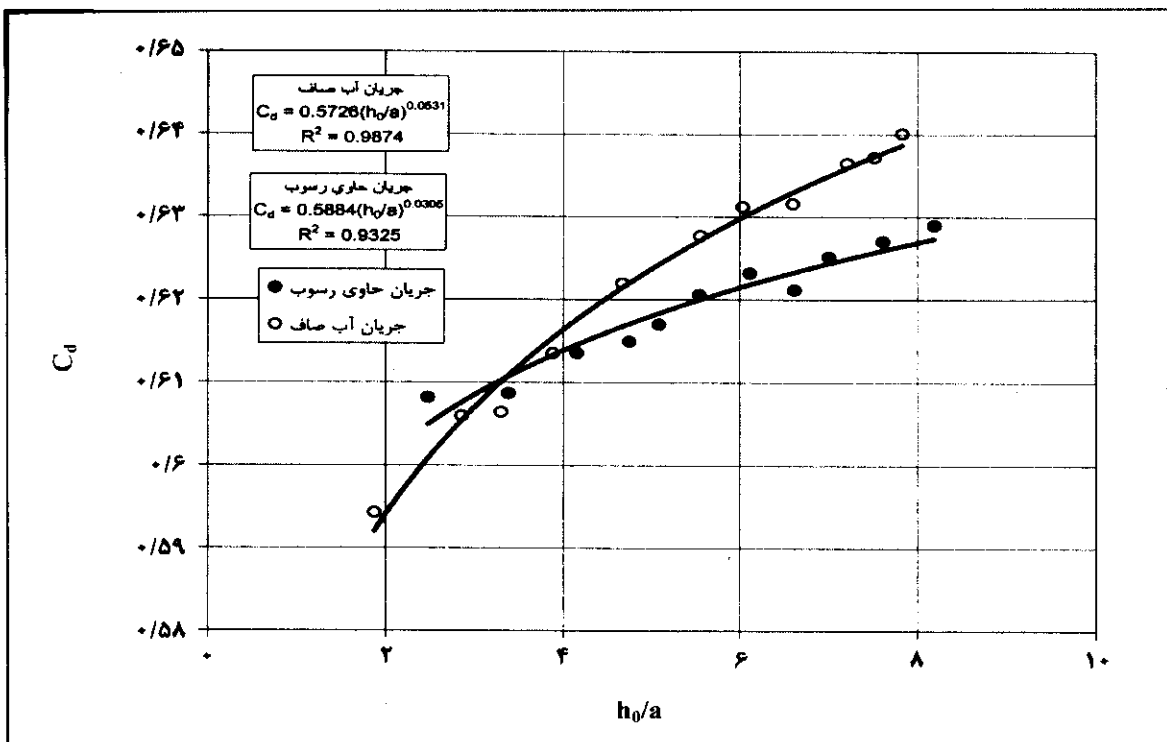
شکل شماره ۲- توزیع سرعت در آب زلال و آب دارای ذرات معلق، از: (Vanoni & Nomicos, 1960)

شماره ۳ و ۴ نتایج حاصل از مطالعه عابری فروتن را نشان می‌دهند. در این نمودارها  $y_d$  عمق جریان روی سرریز،  $P$  ارتفاع سرریز،  $a$  بازشدگی دریچه و  $h_0$  عمق جریان قبل از دریچه است. در این تحقیق، از سرریزهای جانبی استفاده شده است و دلیل آن انباسته نشدن رسوبات در پشت سرریز و امکان به کارگیری غلظت‌های بالای جریان در این نوع سرریزهای است.

عابری فروتن (Aberi Forutan, 2003) تأثیر بار معلق را بر سرریزهای نرمال و دریچه‌های مستطیلی بررسی کرد. نتایج حاصل از تحقیق وی نشان داد که تأثیر بار معلق بر ضریب شدت جریان دریچه‌ها به صورت کاهشی است و در سرریز معمولی که به دلیل انباسته رسوبات در پشت سرریز با غلظت کمتری نسبت به دریچه‌ها کار شده است به طور کلی روند خاصی را نشان نداده است. شکل‌های



شکل شماره ۳- تأثیر بار معلق جریان بر ضریب شدت جریان سرریز نرمال (Aberi Forutan, 2003)



شکل شماره ۴- تأثیر بار معلق جریان بر ضریب شدت جریان روزنہ مستطیلی (Aberi Forutan, 2003)

۲۰ لیتر در ثانیه است. به منظور ایجاد بار معلق، از سیستم چرخشی رسوب استفاده شده است. این سیستم شامل یک پمپ لجن کش با ظرفیت اسمی ۲۰ لیتر در ثانیه، یک مخزن پمپاژ استوانه‌ای به قطر ۱/۲ متر و ارتفاع ۲/۸ متر، و یک مخزن اندازه‌گیری دبی حجمی به ابعاد  $1,25 \times 1,75 \times 80$  متر است. رسوب به صورت دستی به حجم مشخصی از آب اضافه شد و با شروع به کار سیستم مخلوط آب و رسوب از مخزن زمینی با پمپ لجن کش به درون مخزن بالایی انتقال می‌یافتد و بعد از به تعادل رسیدن سیستم دبی مورد نیاز با شیر فلکه تنظیم و مازاد جریان از مخزن سرریز و به درون مخزن پایینی برگشت داده می‌شود. این جریان با ایجاد تلاطم در حوضچه پمپ، از انباشته شدن رسوبات در سیستم جلوگیری می‌کند و رسوبات همواره به صورت بار معلق در می‌آیند. ماده رسوبی استفاده شده پودر سیلیس با  $G_s = 2,65$ ،  $d_{50} = 0,06$  میلی‌متر و  $d_{90} = 2,23$  بود. شکل شماره ۵ منحني دانه‌بندی این مصالح را نشان می‌دهد. نحوه محاسبه ضریب شدت جریان متوسط از رابطه زیر به دست آمد:

$$Q_s = \frac{2}{3} C_d \sqrt{2g(\bar{y} - P)}^3 \quad (2)$$

که در آن،  $Q_s$  = شدت جریان عبوری از روی سرریز بر حسب متر مکعب در ثانیه؛ و  $\bar{y}$  = متوسط عمق جریان بر حسب متر روی سرریز است.

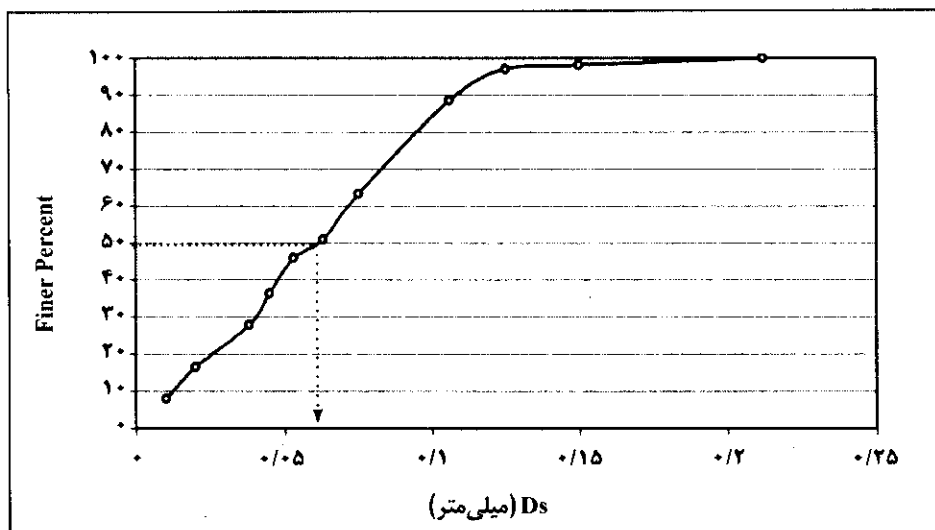
در اندازه‌گیری مقدار شدت جریان و تحويل حجمی آب در شبکه‌ها و جریان عبوری از انواع سازه‌های هیدرولیکی، آگاهی از ضریب شدت جریان و نحوه تغییرات آن ضروری است. از طرفی، همان‌طور که اشاره شد، بار معلق همراه جریان موجود در کانال‌ها و انواع سازه‌ها می‌تواند شرایط هیدرولیکی جریان و نیز ضریب شدت جریان را که بر اساس پارامترهای هندسی و هیدرولیکی جریان تعریف می‌شود تحت تأثیر قرار دهد. از این‌رو، مطالعه تأثیر بار معلق بر نحوه تغییرات ضریب شدت جریان ضروری به نظر می‌رسد.

## مواد و روش‌ها

### - مواد

این تحقیق با استفاده از فلوم آزمایشگاهی شبیب‌پذیر با عرض ۳۰ سانتی‌متر، ارتفاع ۴۶ سانتی‌متر و طول ۱۰ متر و با ظرفیت ۲۰ لیتر در ثانیه در شبیب ۱۰۰۱، انجام شده است. این فلوم با صفحات پلاکسی گلاس<sup>۱</sup> به دو کانال با عرض‌های ۲۰ و ۹/۶ سانتی‌متر تقسیم‌بندی شده است. سرریزهای جانبی در یک سوم انتهای فلوم و در جداره آن تعییه شدند. طول سرریزهای جانبی نصب شده در این آزمایش‌ها ثابت و برابر ۵۰ سانتی‌متر درنظر گرفته شده است. ارتفاع سرریزهای جانبی به ترتیب ۴، ۵، و ۶ سانتی‌متر است. میانگین غلطت‌های اندازه‌گیری شده در این آزمایش‌ها صفر، ۳۰۰۰، ۵۷۰۰، ۱۰۵۰۰ و ۱۹۵۰۰ قسمت در میلیون قسمت و محدوده دبی جریان بالادست سرریز در کanal اصلی بین ۹ تا

1- Plexiglas

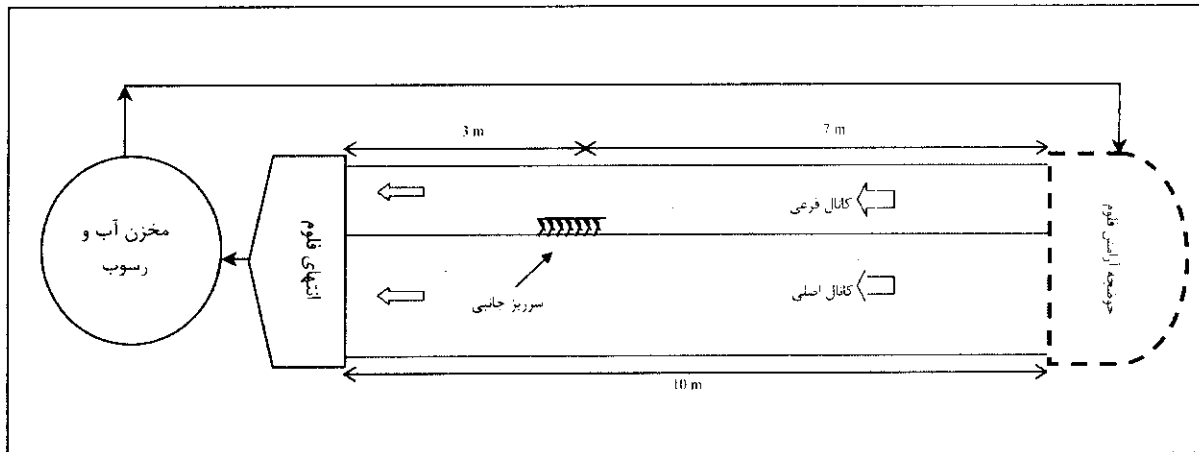


شکل شماره ۵ - منحنی دانه‌بندی رسوبات (پودر سیلیس) مورد استفاده

آب در فواصل ۰/۲۵ متری به سمت پایین دست (با عمق سنج مدرج با دقیق ۰/۱ میلی‌متر) تا ابتدای سرریز برداشت شد. سپس در محدوده سرریز جانبی، مقادیر عمق و سرعت در ۰/۶ عمق جریان در یک شبکه‌بندی با فواصل طولی و عرضی ۵ سانتی‌متر اندازه‌گیری و مقادیر سرعت و عمق نیز در کanal تخلیه و کanal اصلی بعد از سرریز جانبی اندازه‌گیری شد. به ازای مقادیر کم‌دی در کanal اصلی، پرش هیدرولیکی ایجاد شده در کanal تخلیه به سمت بالادست منتقل شد و حتی به محدوده سرریز جانبی نیز نفوذ کرد و به ازای مقادیر بالای دیسی منشعب شده، پیش در پایین دست سرریز جانبی در کanal تخلیه ایجاد می‌شد. در شکل شماره ۶ شماتیک از کanal اصلی و جانبی و محل نصب سرریز ارائه شده است.

### - روش‌ها

آنالیز ابعادی نشان می‌دهد که ضریب شدت جریان در سرریزهای جانبی را در شرایط وجود بار معلق می‌توان به صورت تابعی از عدد فرود بالادست ( $Fr_1$ )، عمق نسبی ( $\frac{y_1}{P}$ )، و غلظت جریان ( $X$ ) در نظر گرفت. بنابراین، آزمایش‌ها در ۶ دبی مختلف و ۳ ارتفاع سرریز با ۵ غلظت مختلف و در مرحله نخست با آب صاف انجام شد. بدین منظور پس از شروع به کار سیستم، جریان با شدت‌های مختلف (که با شیرهای فلکه‌ای تنظیم می‌شد) وارد فلوم گردید. سپس در ۳ متری بالادست سرریز جانبی، که تأثیر پروفیل ایجاد شده توسط سرریز جانبی ناچیز بود، عمق آب و سرعت جریان در ۰/۶، ۰/۲ و ۰/۸ عمق (به کمک میکرومولینه با دقیق ۰/۰۰۲ متر در ثانیه) اندازه‌گیری شد. مقادیر عمق



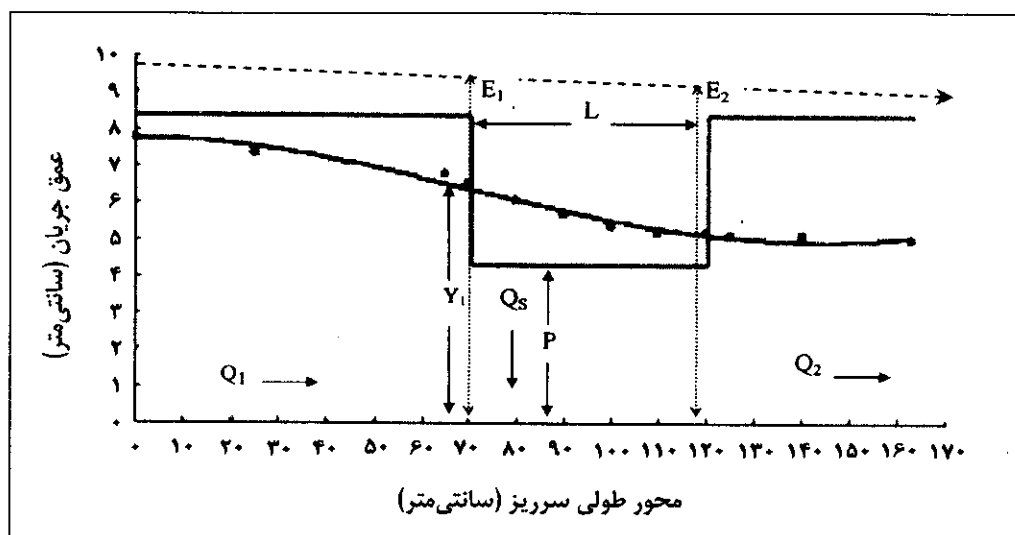
شکل شماره ۶- شماتیک از کanal اصلی و جانبی و محل نصب سورریز

آب صاف اندازه‌گیری شده نیز در این قسمت اندازه‌گیری شد. به علاوه، در این قسمت پارامترهای دیگری چون غلظت رسوب در کanal تخلیه در بالادست و پایین دسته سورریز جانبی و محدوده سورریز جانبی اندازه‌گیری شد. هنگامی که آزمایش‌ها برای اولین غلظت به پایان رسید غلظت‌های بعدی در سیستم ایجاد و آزمایش‌ها به همان نحو تکرار شد. در جدول شماره ۲ محدوده پارامترهای متغیر ذکر شده است.

تمامی موارد فوق برای سایر سورریزها با شعاع‌های مختلف تکرار شد. در مرحله بعد، با ۴۰۰ ماد رسوبی اجازه داده شد تا جریان رسوبی در فلوم برقرار شود. غلظت ۳۵۰۰ قسمت در میلیون قسمت برای شعاع‌های این آزمایش‌ها فراهم و اجازه داده شد که سیستم چرخش رسوبی به مدت یک ساعت کار کند تا به تعادلی نسبی برسد. مقادیر مختلف دبی نیز مانند آزمایش‌ها با آب صاف به سیستم وارد و همان پارامترها مشابه آزمایش‌ها با

جدول شماره ۲- محدوده پارامترهای متغیر در آزمایش‌ها

پارامتر	P (متر)	Q (لیتر در ثانیه)	Q <sub>s</sub> (لیتر در ثانیه) (قسمت در میلیون قسمت)	X	Fr <sub>i</sub>
دامنه تغیرات	۰/۰۶-۰/۰۶	۹-۱۵	۰/۴۴-۳/۴۳	۰-۱۹۵۰۰	۰/۶۲-۰/۸۲



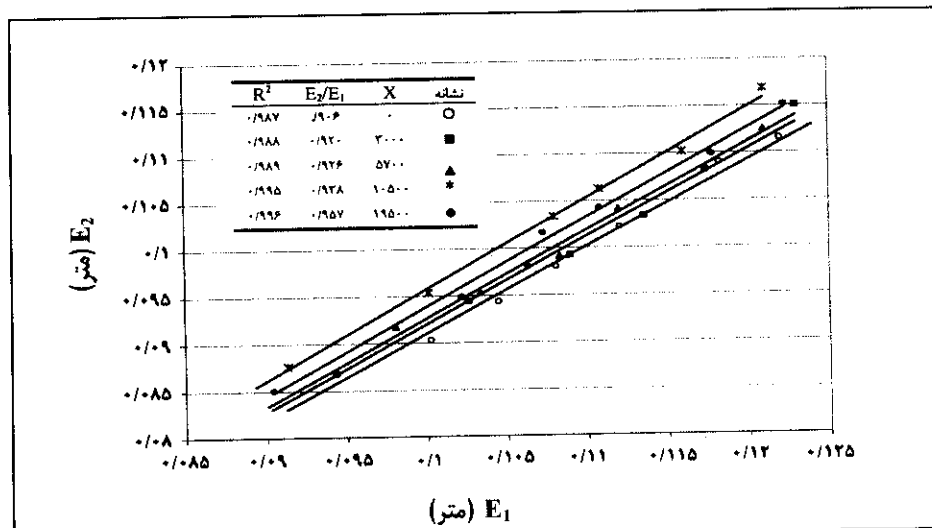
شکل شماره ۷- اجزای سرریز جانبی و تغییرات پروفیل سطح آب در محل سرریز جانبی

#### غلظت جریان مقادیر انرژی مخصوص

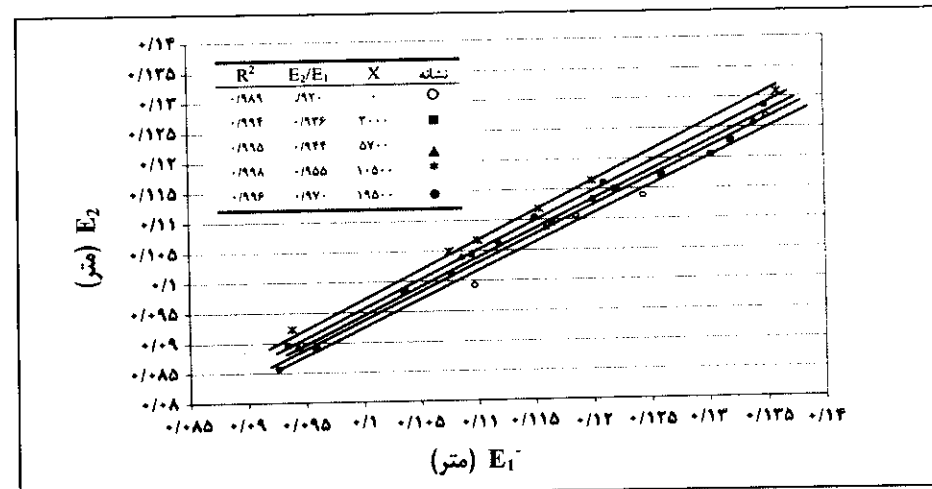
در انتهای سرریز ( $E_2$ ) به ( $E_1$ ) نزدیکتر می‌شود و به عبارت دیگر مقدار افت انرژی جریان کاهش پیدا می‌کند. از طرف دیگر، با افزایش ارتفاع سرریز نمودارهای ترسیم شده به خط ( $E_1=E_2$ ) نزدیکتر می‌شوند که حاکی از کاهش مقدار افت جریان با افزایش غلظت جریان است. انرژی مخصوص روی سرریز جانبی نسبت به انرژی مخصوص در فواصل عرضی از سرریز جانبی دارای مقادیر بیشتری است. میانگین مقدار افت در طول سرریز ۶ درصد است که در منابع نیز افت جریان در همین حدود گفته شده است (Borghei et al., 1999).

#### نتایج و بحث

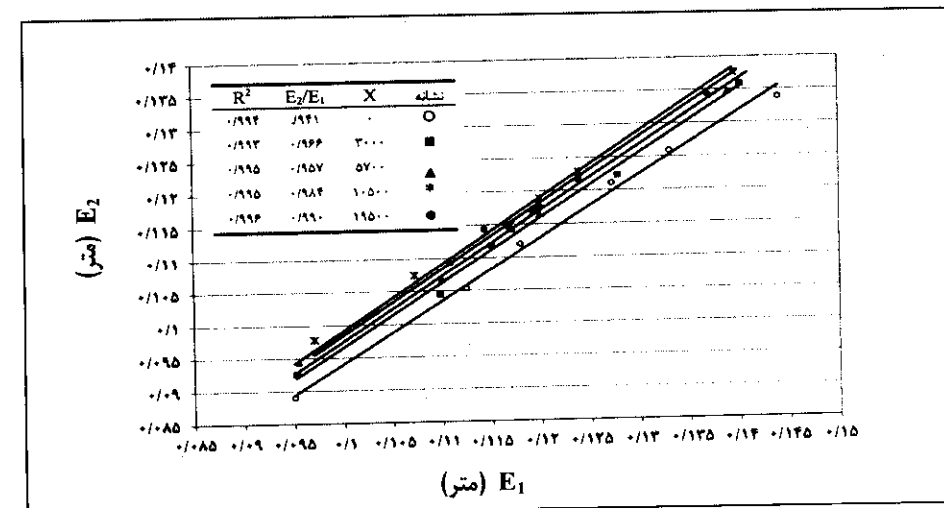
پروفیل جریان مشاهده شده در این تحقیق به صورت شکل شماره ۷ است. همان طور که در این شکل دیده می‌شود، روند تغییرات پروفیل سطح آب در طول سرریز به صورت کاهشی است که در طبقه‌بندی کلی انواع پروفیل‌های سرریز جانبی از نوع دوم است، و همچنین مقدار عمق در ابتدای سرریز به طور متوسط ۰/۹۵ متر بحرانی مشاهده شده است. تغییرات انرژی مخصوص و ضریب شدت جریان با افزایش غلظت جریان بررسی شد. همان‌طور که در شکل‌های شماره ۸ تا ۱۰ دیده می‌شود، به طور کلی مقدار انرژی مخصوص در طول سرریز کاهش پیدا می‌کند و با افزایش



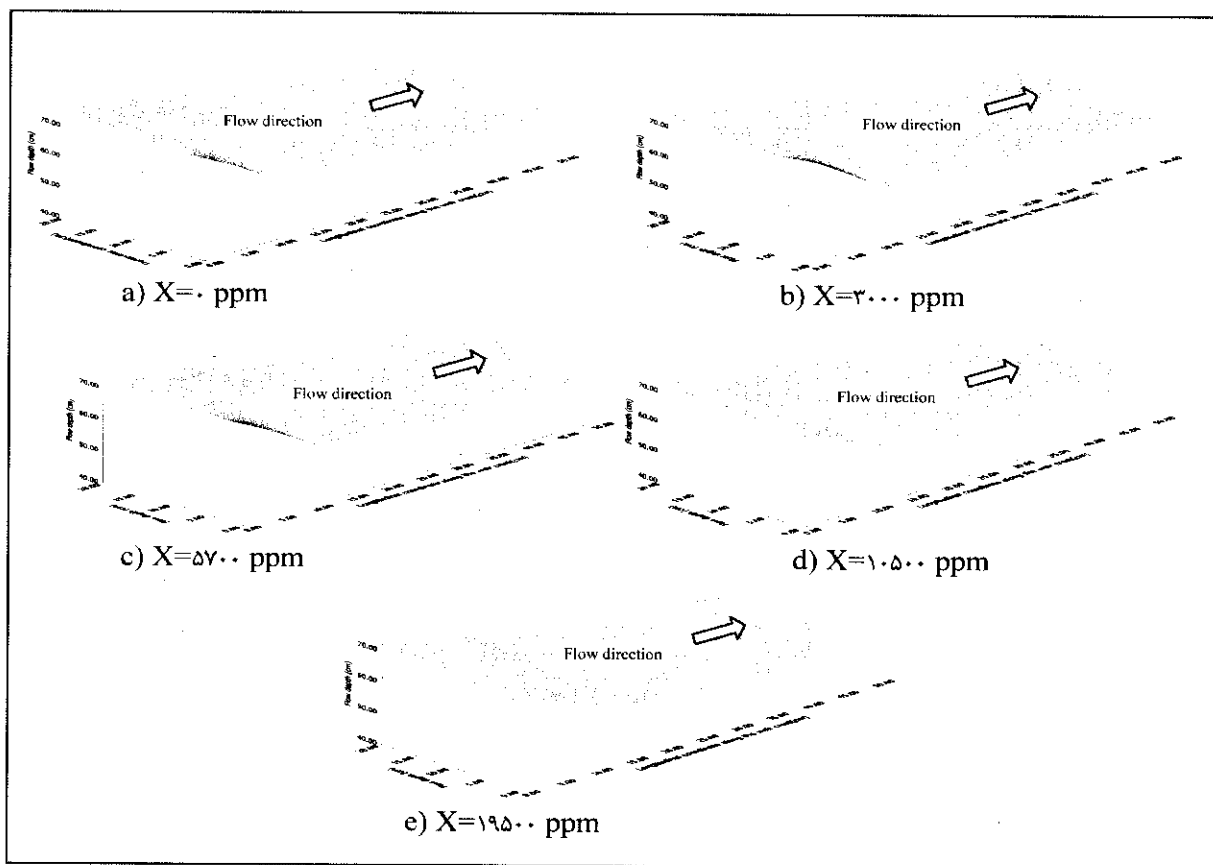
شکل شماره ۸- تغییرات انرژی مخصوص در محل سرریز جانبی برای ۴ سانتی‌متر  $P=$



شکل شماره ۹- تغییرات انرژی مخصوص در محل سرریز جانبی برای ۵ سانتی‌متر  $P=$



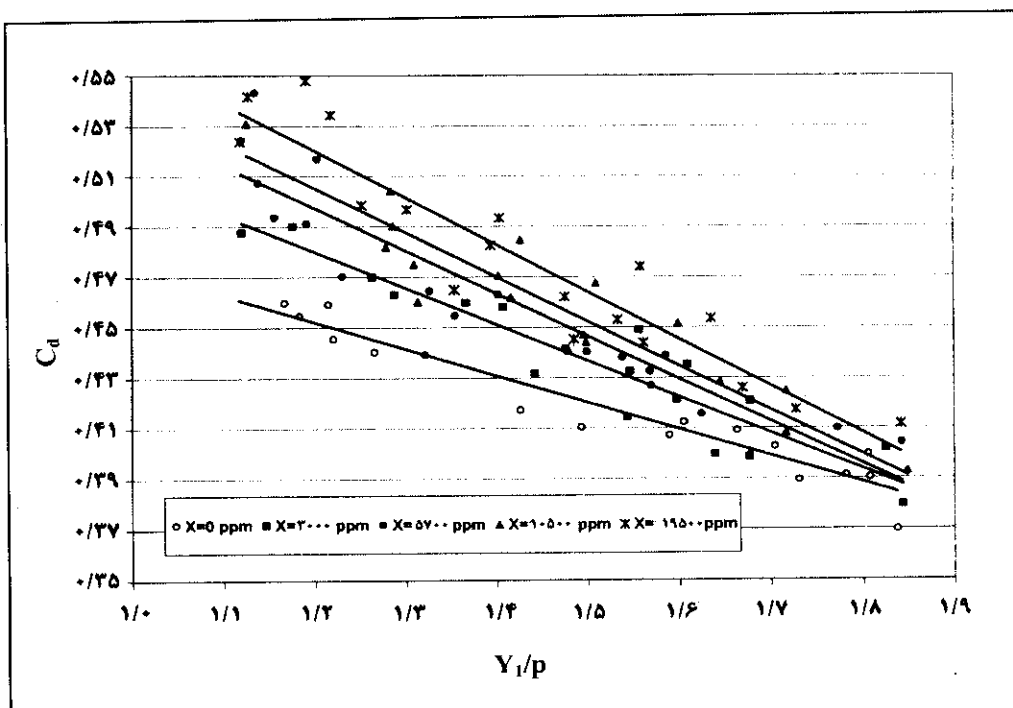
شکل شماره ۱۰- تغییرات انرژی مخصوص در محل سرریز جانبی برای ۶ سانتی‌متر  $P=$



شکل شماره ۱۱- تغییرات سه بعدی عمق آب در محل سوریز جانبی

پراکندگی هستند اما روند کلی داده‌ها این تغییرات را به خوبی نشان می‌دهد، همچنین داده‌های مربوط به آب صاف روند بهتری را نشان می‌دهد. دیده می‌شود که با افزایش مقدار ( $y_1/P$ ) تأثیر غلظت جریان بر ضریب شدت جریان کمتر شده است و نمودارهای ترسیم شده همگرا شده‌اند از این رو به نظر می‌رسد که تأثیر غلظت جریان بر ضریب شدت جریان در عمق‌های زیاد جریان در روی سوریز، ناچیز باشد. افزایش ضریب شدت جریان با افزایش غلظت جریان به این معناست که برای انحراف یک مقداری ثابت از جریان یا باید طول سوریز را کاهش یا ارتفاع آن را افزایش داد.

نتایج آزمایش‌ها نشان می‌دهد که در محدوده سوریز جانبی هر چه از سوریز در جهت عرضی فاصله گرفته شود عمق جریان افزایش و سرعت جریان کاهش می‌یابد. همچنین با افزایش غلظت بار معلق عمق جریان کاهش می‌یابد که روند این کاهش با شکل‌های شماره ۱۱ (a تا e) نشان داده شده است. تأثیر بار معلق بر ضریب شدت جریان متوسط سوریزهای جانبی در شکل شماره ۱۲ نشان داده شده است. در این شکل دیده می‌شود که به طور کلی مقدار ضریب شدت جریان متوسط با افزایش نسبت عمق آب به ارتفاع سوریز کاهش و با افزایش غلظت جریان برای یک عمق نسبی ثابت افزایش می‌یابد. هر چند داده‌ها دارای مقداری



شکل شماره ۱۲- تغییرات ضریب شدت جریان در مقابل  $\frac{y_1}{P}$  برای غلظت‌های مختلف

نیز شکل‌های شماره ۱۳ تا ۱۵ حاکی از کاهش ضریب شدت جریان متوسط با افزایش عدد فرود بالادرست است. همان طور که در این شکل دیده

می‌شود، با افزایش بار معلق، جریان ضریب شدت جریان متوسط افزایش می‌یابد. با افزایش ارتفاع سرریز ضریب شدت جریان افزایش پیدا می‌کند که این افزایش در شکل‌های شماره ۱۲، ۱۳، و ۱۴ به

در مورد تغییرات ضریب شدت جریان در مقابل شماره ۳ ذکر شده است.

خطوط ترسیم شده در شکل شماره ۱۲ را می‌توان با رابطه زیر نشان داد:

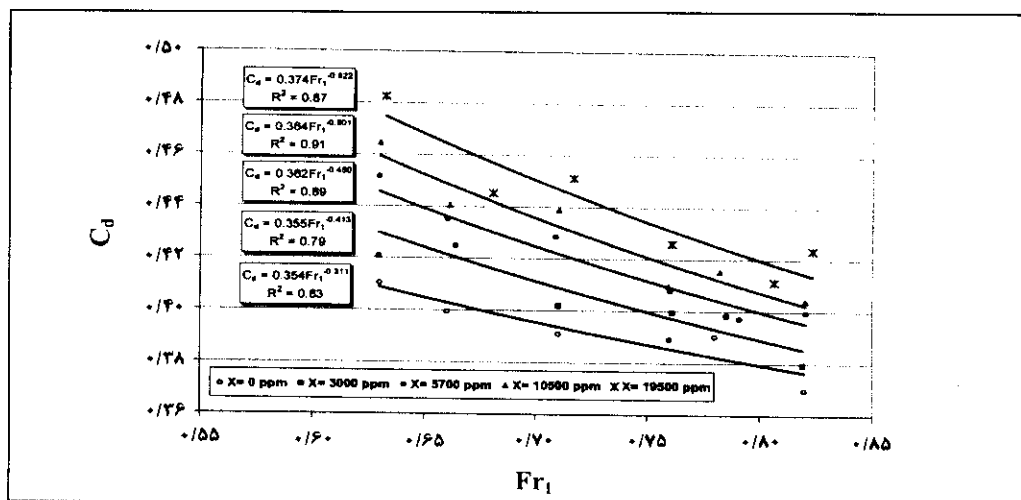
$$C_d = A(y^*) + B \quad (4)$$

که  $y^* = \frac{y_1}{P}$  است و مقادیر A و B نیز در جدول

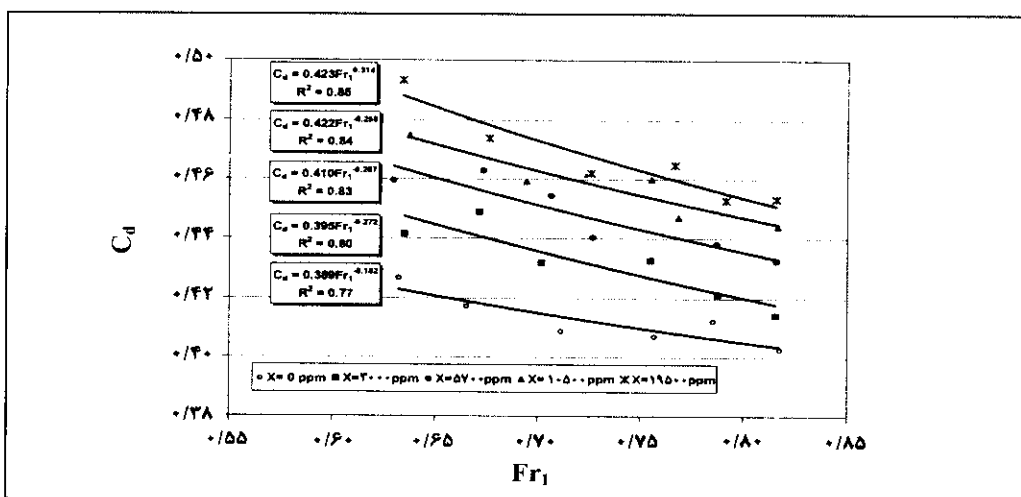
در مورد تغییرات ضریب شدت جریان در مقابل شماره ۳ ذکر شده است.

جدول شماره ۳- مقادیر A، B و ضریب همبستگی برای رابطه شماره ۴

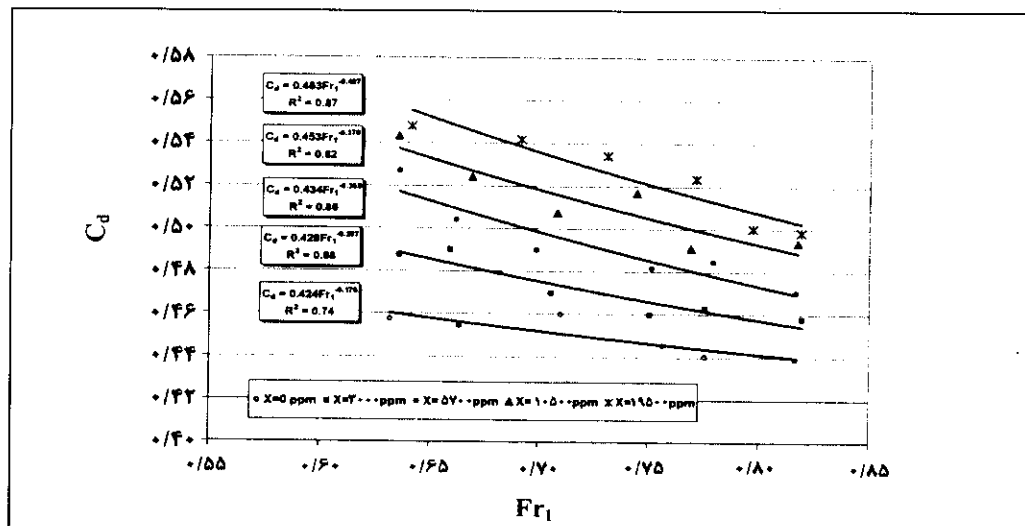
X	(قسمت در میلیون قسمت)		
R <sup>2</sup>	B	A	
0.92	0.579	-0.106	O
0.88	0.602	-0.144	△
0.87	0.700	-0.169	●
0.87	0.716	-0.176	*
0.88	0.744	-0.187	■



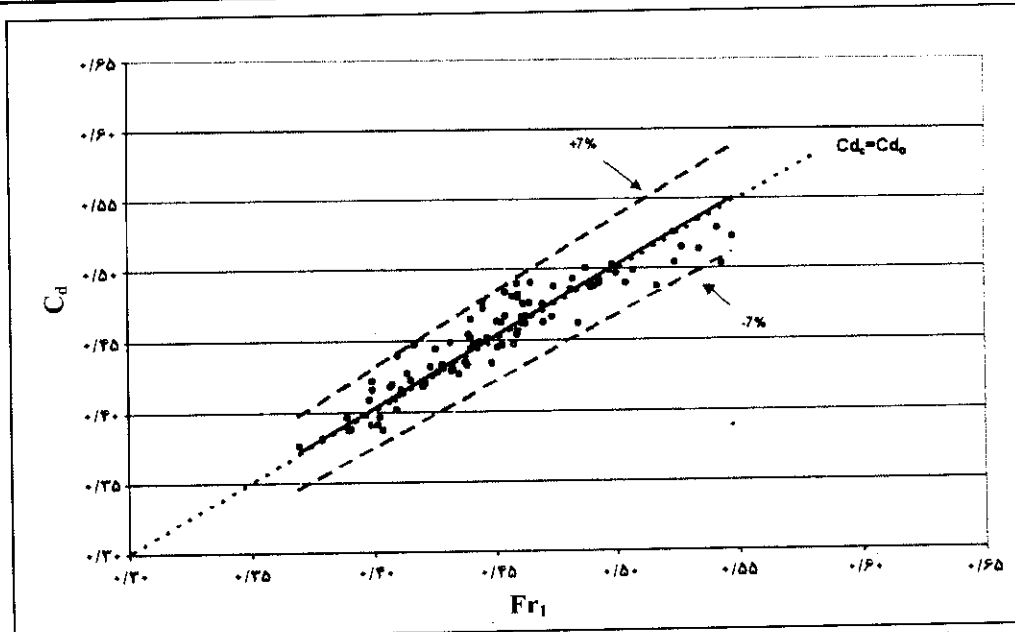
شکل شماره ۱۳ - تغییرات ضریب شدت جریان با عدد فرود بالادست برای غلظت‌های مختلف، ۴ سانتی‌متر



شکل شماره ۱۴ - تغییرات ضریب شدت جریان با عدد فرود بالادست برای غلظت‌های مختلف، ۵ سانتی‌متر



شکل شماره ۱۵ - تغییرات ضریب شدت جریان با عدد فرود بالادست برای غلظت‌های مختلف، ۶ سانتی‌متر



شکل شماره ۱۶- مقایسه ضریب شدت جریان اندازه‌گیری شده و محاسبه شده

ضریب شدت جریان تحت تأثیر بار معلق جریان قرار می‌گیرد. بررسی‌ها نشان می‌دهد که سرعت جریان روی سرریز جانبی نسبت به کanal اصلی بیشتر است همچنین ضریب شدت جریان با افزایش عدد فرود بالادست کاهش و با افزایش غلظت بار معلق جریان افزایش می‌یابد. تغییرات ضریب شدت جریان در مقابل نسبت عمق جریان روی سرریز به ارتفاع سرریز،  $\frac{y_1}{P}$ ، مورد بررسی قرار گرفته و در

این مورد نیز ضریب شدت جریان با افزایش نسبت عمق جریان به ارتفاع سرریز کاهش می‌یابد و با افزایش غلظت بار معلق جریان روند افزایشی را نشان می‌دهد. همچنین با افزایش غلظت بار معلق جریان شبی خطوط ترسیم شده برای تغییرات

ضریب شدت جریان در مقابل  $\frac{y_1}{P}$  و تغییرات ضریب شدت جریان در مقابل عدد فرود بالادست افزایش پیدا می‌کند.

با توجه به تحلیل ابعادی صورت گرفته که در آن ضریب شدت جریان در سرریزهای جانبی تابعی از سه پارامتر: عدد فرود بالادست ( $Fr_1$ )، عمق نسبی ( $y_1/P$ )، و غلظت بار معلق (X) معرفی گردید رابطه زیر برای ضریب شدت بر اساس مربع حداقل مجدورات ارائه می‌شود:

$$C_d = 0.7 - 0.061 Fr_1 - 0.15 \frac{y_1}{P} + 2 \times 10^{-6} X \quad (5)$$

همان طور که در شکل شماره ۱۶ دیده می‌شود این رابطه ضریب شدت جریان واقعی ( $Cd_0$ ) را در محدوده  $\pm 7\%$  درصد برآورد می‌کند.

### نتیجه‌گیری

نتایج بررسی تأثیر بار معلق جریان بر ضریب شدت جریان در سرریزهای جانبی نشان می‌دهد که

## مراجع

- 1- Aberi Forutan, S. H. 2003. The Effect of suspended load on discharge coefficient of normal weir and gates. M. Sc. Thesis. Tarbiat Modarres University. (In: Farsi)
- 2- Borghei, S. M., Jalili, M. R. and Ghodsian, M. 1999. Discharge coefficient for sharp-crested side weirs in subcritical flow. J. of Hydraul. Eng. ASCE. 125 (10) : 1051-1056.
- 3- Cheong, H. F. 1991. Discharge coefficient of lateral diversion from trapezoidal channel. J. of Irrig. and Drain. Eng. ASCE. 117 (4): 461-465.
- 4- De Marchi, G. 1934. Saggio di teoria di funzionamento delgi stramazzi laterali. Energ. Elettr. 11 (11): 849-860. (In: Italian)
- 5- Einstein, H. A. and Chien, N. 1955. Effects of heavy sediment concentration near the bed on velocity and sediment distribution. MRD Series No. 8. University of California. Institute of Engineering Research and United States Army Engineering division. Missouri River. Corps of Engineering, Omaha.
- 6- Gohari Asadi, S. 2004. The Effect of suspended load on discharge coefficient of side weirs in rectangular channels. M. Sc. Thesis. Tarbiat Modarres University. (In: Farsi)
- 7- Hager, W. H. 1986. Lateral outflow over side weirs. J. of Hydraul. Eng. ASCE. 113 (4): 491-504.
- 8- Lee, K. L. and Holley, E. R. 2002. Physical modeling for side channel weirs. Center of Research for Water Resources. The University of Texas at Austin. available on <http://www.crwr.utexas.edu/online> Shtml.
- 9- Muslu, Y. 2001. Numerical analysis for lateral weir flow. J. of Irrig. and Drain. Eng. ASCE. 127 (4) : 246-253.
- 10- Pinheiro, A. N. and Silva, I. N. 1999. Discharge coefficients of side weirs: Experimental study and comparative analysis of different formulas. Proceeding of the International Association of Hydraulic Research. XXXVIIth Congress Graz. Austria. Theme B3, Aug.
- 11- Ranga Raju, K. G., Prasad, B. and Gupta, S. K. 1979. Side weir in rectangular channel. J. of Hydraul. Div. ASCE. 105 (HY5): 547-554.
- 12- Singh, R. M., Manivannan, D. and Satyanarayana, T. 1994. Discharge coefficient of rectangular side weirs. J. of Irrig. and Drain. Eng. ASCE. 120 (4): 814-819.
- 13- Subramanya, K. and Awasthy, S. C. 1972. Spatially varied flow over side weir. J. of Hydraul. Div. ASCE. 98 (HY1): 1-10.
- 14- Uyumaz, A. and Smith, R. H. 1991. Design procedure for flow over side weirs. J. of Irrig. and Drain. Eng. ASCE. 117, 79-90.
- 15- Vanoni, V. A. 1957. Sedimentation Engineering. ASCE. Manuals and Reports on Engineering Practice. No. 54. N. Y.
- 16- Vanoni, V. A. and Nomicos, G. N. 1960. Resistance properties of sediment laden stream. Trans. ASCE. 125 (3055): 1140-1175.

## The Effect of Suspended Load on Discharge Coefficient of Side Weirs in Rectangular Channels

S. A. Ayyoubzadeh, S. Gohari Asadi and J. M. Vali Samani

Side weirs have been extensively used for water level control, in irrigation and drainage canal systems for diverting excess water into relief channels in flood protection works, and as storm overflow in urban sewage systems. The first theoretical approach that studied the hydraulics of side weir was reported by De-Marchi (1934). Up to Now, all the conducted experiments were under clear water condition and relationships proposed for side weir discharge coefficient ( $C_d$ ) in clear water condition were used. Flow in channels and through dam outlets and other measuring structures have various concentration of suspended solids that may change the flow hydraulics and hence the discharge coefficient. A study of suspended load effect on discharge coefficient was carried out in hydraulics laboratory, department of water structures engineering, Tarbiat Modarres University. Dimensional analysis indicates that  $C_d$  can be written as a function of upstream Froude number ( $Fr_1$ ), depth ratio ( $y_1/P$ ), and flow concentration (X). Therefore, 6 various discharges, 3 heights of weir (4, 5, & 6 cm) and 5 levels of concentration (0, 3000, 5700, 10500, 19500 ppm), totally 90 runs were conducted. The experimental results suggest that increasing the flow concentration for a given discharge increases the average velocity in the main channel, reduce the head loss, and finally increase the discharge coefficient of the side weir. In high-level concentration (19500 ppm), discharge coefficient is increased up to 15%. With respect to dimensional analysis, a formula for calculating discharge coefficient of side weirs in sediment-laden flow condition is proposed. This formula can predict discharge coefficient of side weirs within  $\pm 7\%$  accuracy.

**Key words:** Discharge Coefficient, Lateral Intake, Side Weir, Suspended Load